

НОВЫЙ КЛАСС СДВИГОВЫХ ПОВЕРХНОСТНЫХ МАГНИТОЗВУКОВЫХ ВОЛН В АНТИФЕРРОМАГНИТНЫХ КРИСТАЛЛАХ

*C. B. Тарасенко**

*Донецкий физико-технический институт им. А. А. Галкина Национальной академии наук Украины
83114, Донецк, Украина*

Поступила в редакцию 12 апреля 2001 г.

Показано, что гибридизация магнитоупругого и магнитодипольного взаимодействий может приводить уже в нулевом внешнем магнитном поле к формированию сдвиговой поверхностной магнитозвуковой волны нового типа вблизи механически свободной или акустически сплошной границы раздела между одноосным антиферромагнетиком и немагнитной средой. Изучено влияние проводящих свойств среды на условия локализации данной поверхностной моды.

PACS: 68.35.Ja, 75.50.Ee, 75.70.Cn

1. ВВЕДЕНИЕ

Несмотря на достаточно большое количество работ, посвященных анализу условий формирования сдвиговых поверхностных магнитозвуковых волн вблизи механически свободной поверхности ферро- и антиферромагнитных кристаллов [1], традиционно исследуется только один класс поверхностных SH-фононов (shear horizontal) — магнитодипольно-активная волна Гуляева–Блюштейна [2–5]. Ее существование, как известно, связано с тем, что объемная сдвиговая упругая волна (SH-волна), скользящая вдоль механически свободной поверхности кристалла, может полностью удовлетворять упругим граничным условиям (особая объемная волна) [6–9]. В результате малое изменение граничных условий может привести к превращению такой волны в сдвиговую поверхностную акустическую волну. В частности, если объемный SH-фонон является магнитодипольно-активным, то роль такого возмущения может играть линейная связь между некоторыми компонентами тензора упругих деформаций u_{ik} и магнитного поля \mathbf{H} . В этом случае бегущая вдоль механически свободной поверхности кристалла поперечная упругая SH-волна будет трансформироваться в сдвиговую поверхностную магнитозвуковую волну.

В ферро- и антиферромагнитном кристаллах уже в отсутствие постоянного внешнего магнитного поля \mathbf{H}_0 существование такой связи между u_{ik} и \mathbf{H} может быть индуцировано наличием дальнего магнитного порядка [1, 10].

Впервые условия формирования поверхностной магнитозвуковой SH-волны были рассмотрены в работе [2] на примере однородно намагниченного внешним магнитным полем \mathbf{H}_0 ($\mathbf{H}_0 \parallel z$, $\mathbf{n} \parallel x$, $\mathbf{k}_\perp \parallel y$, $\mathbf{u} \parallel z \perp \mathbf{n}$, \mathbf{n} — нормаль к поверхности магнетика, \mathbf{k}_\perp — волновой вектор вдоль направления распространения упругой волны, \mathbf{u} — вектор упругих смещений) упруго- и магнитоизотропного ферромагнитного полупространства, поверхность которого механически свободна. Обобщение результатов работы [2] на случай акустически сплошной границы раздела между ферромагнетиком и немагнитным диэлектриком было проведено в [11]. Корректный учет влияния динамического магнитоупругого взаимодействия на структуру спектра поверхностной SH-волны вблизи границы устойчивости данного магнитного состояния (наличие магнитоупругой щели в спектре мягкой магнитной моды) выполнен в работе [1] для механически свободной границы раздела между ферромагнетиком и вакуумом. Из результатов работ [1, 2, 11] следует, что сдвиговая поверхностная магнитозвуковая SH-волна (волна Парека) не является прямым аналогом волны Гуляева–Блюштейна в

*E-mail: tarasen@host.dipt.donetsk.ua

немагнитном кристалле или в парамагнитной фазе ($T > T_C$, T_C — температура Кюри) магнитоупорядоченного кристалла, поскольку

1) в парамагнитной фазе ($T > T_C$) данный тип поверхностной SH-волны формируется при $\mathbf{H}_0 \parallel z$, $\mathbf{k}_\perp \parallel y$, $\mathbf{n} \parallel x$, $\mathbf{u} \parallel z$ вследствие гибридизации в ограниченном магнетике магнитодипольного и магнитоупругого взаимодействий, тогда как из [1, 2, 11] следует, что при $T < T_C$ (даже в пренебрежении магнитодипольным взаимодействием¹⁾) рассматриваемая поверхностная сдвиговая упругая волна не делокализуется ни в случае механически свободной, ни в случае акустически сплошной границы раздела ферромагнитной и немагнитной диэлектрических сред;

2) в отличие от случая $T > T_C$ рассматриваемый тип поверхностной магнитозвуковой SH-волны при $T < T_C$ существует как на механически свободной, так и на акустически сплошной границе раздела между сверхпроводником и ферромагнетиком (по своим упругим свойствам немагнитная среда считается более жесткой, чем магнитная, т. е. формирование волн Лява невозможно, граничные капиллярные эффекты отсутствуют).

В работе [12] показано, что причина формирования поверхностной SH-волны на механически свободной границе между магнетиком и сверхпроводником уже без учета магнитодипольного взаимодействия связана с тем, что для рассматриваемой плоскости распространения упругой SH-волны ($\mathbf{k} \in xy$) исследуемая магнитная среда (легкоосный ферромагнетик, z — легкая ось) обладает акустической гиротропией. В результате даже без учета магнитодипольного взаимодействия спектр такой поверхностной магнитозвуковой SH-волны ($\mathbf{H}_0 \parallel z$, $\mathbf{k}_\perp \parallel y$, $\mathbf{n} \parallel x$, $\mathbf{u} \parallel z$), во-первых, обладает невзаимностью относительно инверсии направления распространения волны, $\omega(k_\perp) \neq \omega(-k_\perp)$, во-вторых, состоит из нескольких ветвей, разделенных запрещенными областями частот.

Если же в соответствующих соотношениях работ [1, 2, 11] выполнить другой формальный предельный переход: $B_{44} \rightarrow 0$ (пренебрежение связью спиновой и упругой подсистем, B_{44} — константа магнитоупругого взаимодействия), то они при той же относительной ориентации векторов \mathbf{n} , \mathbf{H}_0 и \mathbf{k}_\perp будут описывать (в магнитостатическом приближении) закон дисперсии поверхностного магнитного

ТЕ-поляритона (волны Дэймона—Эшбаха) и объемной однородной SH-волны.

Однако из-за относительной малости магнитоупругих эффектов по сравнению с магнитодипольными влияние магнитоупругого механизма локализации поперечных фононов на спектр поверхностной магнитозвуковой SH-волны в ферромагнетике является незначительным. В то же время хорошо известно [10], что в антиферромагнетиках одновременно имеет место обменное усиление магнитоупругого и обменное ослабление магнитодипольного взаимодействий, что делает учет магнитоупругого механизма формирования сдвиговой поверхностной магнитозвуковой SH-волны более актуальным, прежде всего, для этого класса магнитных кристаллов.

В пренебрежении магнитоупругим взаимодействием условия формирования и распространения в легкоосных антиферромагнетиках поверхностных магнитных TE-поляритонов как с учетом, так и без учета эффектов электромагнитного запаздывания изучены достаточно подробно [13–15].

Возможность локализации сдвиговых упругих волн вблизи механически свободной поверхности антиферромагнетика или акустически сплошной границы раздела между антиферромагнетиком и немагнитной средой за счет магнитоупругого взаимодействия, но без учета магнитодипольного взаимодействия исследовалась в работах [12, 16, 17]. Что же касается одновременного влияния магнитоупругого и магнитодипольного взаимодействий на условия формирования и распространения поверхностной магнитозвуковой SH-волны вблизи поверхности антиферромагнетика, то до сих пор такая задача не рассматривалась.

Следует ожидать, что в этом случае условия локализации сдвиговой магнитозвуковой волны, бегущей вдоль поверхности легкоосного антиферромагнетика при $|\mathbf{H}_0| = 0$, могут принципиально отличаться от ранее изученных в работах [1, 2, 11] на примере легкоосного ферромагнетика, поскольку традиционно в антиферромагнетиках в качестве механизма, индуцирующего линейную связь между u_{ik} и H (а, следовательно, и неустойчивость однородной особой объемной SH-волны, бегущей вдоль механически свободной поверхности магнетика), рассматривалось только пьезомагнитное взаимодействие [1, 3–5], несмотря на то что для существования в антиферромагнитном кристалле магнитоупругого взаимодействия, в отличие от пьезомагнитного, не требуется выполнения специальных симметрийных критериев [10]. Кроме того, при расчете спектра поверхностных магнитозвуко-

¹⁾ Для этого в соответствующих соотношениях работ [1, 2, 11] необходимо формально перейти к пределу $4\pi \rightarrow 0$.

вых SH-фононов в антиферромагнетиках до сих пор игнорировалось наличие в том же диапазоне частот ω и волновых чисел k_{\perp} нормальных спиновых волн [1, 3–5]. При произвольной величине волнового числа k_{\perp} это оправдано для высокотемпературных антиферромагнетиков ($T_N > T_D$, где $T_N(T_D)$ — температура Нееля (Дебая)) [18], но несправедливо для низкотемпературных антиферромагнетиков ($T_N < T_D$).

Особый интерес в этой связи представляет анализ влияния магнитоупругого механизма линейной связи между упругим u_{ik} и магнитным H полями на условия распространения особой объемной магнитозвуковой SH-волны вдоль механически свободной или акустически сплошной границы раздела между легкоосным антиферромагнетиком в коллинеарной фазе ($H_0 = 0$) и сверхпроводником ($\mathbf{n} \parallel x$, $\mathbf{k} \in xy$, $\mathbf{u} \parallel l \parallel z$, \mathbf{l} — вектор антиферромагнетизма), поскольку в этом случае

- 1) в отличие от ферромагнетика [1, 2, 11], при $|H_0| = 0$ антиферромагнетик в коллинеарной фазе не является одновременно оптически и акустически активной средой;
- 2) как следует из [13–15], наличие сверхпроводящего покрытия делает невозможным формирование поверхностной магнитостатической волны в легкоосном антиферромагнетике ($|H_0| = 0$);
- 3) на механически свободной границе раздела между пьезомагнетиком и сверхпроводником (супердиамагнетиком) невозможно существование магнитодипольно-активной волны Гуляева–Блюстейна, индуцированной пьезомагнитным взаимодействием [19, 20].

Таким образом, цель данной работы состоит в определении необходимых условий, при выполнении которых как для механически свободной, так и акустически сплошной границы раздела антиферромагнитной и немагнитной сред (в качестве немагнитной среды может быть выбран как диэлектрик, так и сверхпроводник), гибридизация магнитоупругого и магнитодипольного взаимодействий приводит при $|H_0| = 0$ к формированию нового класса сдвиговых поверхностных магнитозвуковых волн.

Работа состоит из нескольких разделов. В разд. 2 приведены основные соотношения и определены условия, при выполнении которых совместный учет магнитоупругого и магнитодипольного взаимодействий индуцирует формирование поверхностной магнитозвуковой SH-волны нового типа вблизи механически свободной границы раздела между легкоосным антиферромагнетиком и немагнитной средой. Здесь же изучены дисперсионные свойства

данной поверхностной волны в зависимости от характера проводящих свойств немагнитной среды (диэлектрик или сверхпроводник). Особенности дисперсионных свойств исследуемой сдвиговой поверхностной магнитозвуковой волны для акустически сплошной границы раздела между легкоосным антиферромагнетиком и немагнитной средой рассмотрены в разд. 3. Возможность формирования нового типа щелевой магнитозвуковой SH-волны на примере трехслойной структуры типа антиферромагнетик–немагнитная среда–антиферромагнетик обсуждена в разд. 4. В разд. 5 показана связь между найденным спектром щелевой магнитозвуковой SH-волны для структуры антиферромагнетик–немагнитная среда–антиферромагнетик и спектром сдвиговой поверхностной магнитозвуковой волны, распространяющейся вдоль упругоизотропной антиферромагнитной пластины, обе поверхности которой имеют сплошной акустический контакт с идентичными немагнитными полупространствами. Раздел 6 посвящен анализу особенностей локализации и распространения рассматриваемого типа поверхностной магнитозвуковой SH-волны, которые индуцируются влиянием пространственной дисперсии магнитной среды (неоднородным обменным взаимодействием). В Заключении приведены основные выводы, следующие из полученных результатов.

2. ОСНОВНЫЕ СООТНОШЕНИЯ. МЕХАНИЧЕСКИ СВОБОДНАЯ ГРАНИЦА РАЗДЕЛА АНТИФЕРРОМАГНИТНОЙ И НЕМАГНИТНОЙ СРЕД

Будем считать, что антиферромагнитная среда занимает нижнее полупространство ($x < 0$) с нормалью к границе раздела $\mathbf{n} \parallel [100]$. В качестве примера рассмотрим двухподрешеточную ($\mathbf{M}_{1,2}$ — намагниченности подрешеток, $|\mathbf{M}_1| = |\mathbf{M}_2| = M_0$) модель легкоосного (ось z) обменно-коллинеарного антиферромагнетика, магнитоупругие и упругие свойства которого в дальнейшем для простоты и наглядности расчетов будем полагать изотропными. Соответствующая плотность термодинамического потенциала в терминах векторов ферромагнетизма \mathbf{m} и антиферромагнетизма \mathbf{l} может быть представлена в виде [10]

$$W = 0.5\delta\mathbf{m}^2 - 0.5bl_z^2 - \mathbf{m} \cdot \mathbf{h}_m + \gamma l_il_ku_{ik} + \mu(u_{ik} - \delta_{ik}u_{ll}/3)^2 + 0.5Ku_{ll}^2, \quad (1)$$

$$\mathbf{m} = (\mathbf{M}_1 + \mathbf{M}_2)/2M_0, \quad \mathbf{l} = (\mathbf{M}_1 - \mathbf{M}_2)/2M_0.$$

Здесь b , δ , γ , K и μ — соответственно константы магнитной анизотропии, однородного обменного взаимодействия, магнитоупругого взаимодействия, модуль всестороннего сжатия и модуль сдвига, \mathbf{h}_m — магнитодипольное поле, δ_{ik} — символ Кронекера. Если пренебречь конечностью скорости распространения электромагнитной волны в магнетике, то динамика модели (1) описывается замкнутой системой уравнений, состоящей из уравнений Ландау–Лифшица для векторов \mathbf{m} и \mathbf{l} , основного уравнения механики сплошной среды и уравнений магнитостатики:

$$\begin{aligned} \frac{1}{g} \frac{\partial \mathbf{m}}{\partial t} &= \mathbf{m} \times \mathbf{H}_m + \mathbf{l} \times \mathbf{H}_l, \\ \frac{1}{g} \frac{\partial \mathbf{l}}{\partial t} &= \mathbf{m} \times \mathbf{H}_l + \mathbf{l} \times \mathbf{H}_m, \\ \operatorname{div} \mathbf{B} &= 0, \quad \rho \frac{\partial^2 u_i}{\partial t^2} = \frac{\partial \sigma_{ik}}{\partial x_k}, \end{aligned} \quad (2)$$

где \mathbf{B} — магнитная индукция, \mathbf{u} — вектор смещений решетки, ρ — плотность, σ_{ik} — тензор упругих напряжений, g — магнитомеханическое соотношение, $\mathbf{H}_r \equiv \delta W / \delta r$ — эффективное поле, $r = \mathbf{m} \cdot \mathbf{l}$.

Поскольку целью данной работы является изучение условий формирования поверхностной магнитозвуковой волны, локализованной вблизи границы раздела антиферромагнитной и немагнитной сред ($x = 0$), рассматриваемая система динамических уравнений должна быть дополнена соответствующими упругими и электродинамическими граничными условиями. Если граница раздела является механически свободной, то такая система граничных условий может быть представлена в виде [19, 20]

$$\sigma_{ix} = 0 \quad (x = 0), \quad u(x \rightarrow -\infty) \rightarrow 0, \quad (3)$$

$$\mathbf{B}_1 \cdot \mathbf{n} = -\beta k_\perp \phi_1 \quad (x = 0), \quad \phi_1(x \rightarrow -\infty) \rightarrow 0. \quad (4)$$

Здесь k_\perp — волновое число, ϕ — магнитостатический потенциал ($\mathbf{h}_m \equiv -\nabla \phi$), индексы 1 и 2 соответствуют магнитной и немагнитной средам. Всюду в дальнейшем считается, что магнитная проницаемость немагнитной среды равна единице. В зависимости от проводящих свойств немагнитной среды в (4) $\beta \equiv 0$ для идеального металла или супердиамагнетика [20], $\beta \equiv 1$ для вакуума, $\beta \equiv \operatorname{th}(k_\perp \lambda)$ для сверхпроводника с лондоновской глубиной проникновения λ .

Расчет показывает, что если $b > 0$ в (1), то при $|\mathbf{H}_0| = 0$ в равновесном состоянии $\mathbf{l} \parallel z$ и $|\mathbf{m}| = 0$ (коллинеарная фаза). В результате, когда направление распространения сдвиговой волны с $\mathbf{u} \parallel z$ совпадает с

осью y ($\mathbf{k} \in xy$), характеристическое уравнение для краевой задачи (1)–(4) можно представить в виде

$$\begin{aligned} \left(\alpha^2 - 1 + \frac{\omega^2}{s_{1t}^2 \bar{c}_{55} k_\perp^2} \right) (\alpha^2 - 1) &= 0, \\ k_x^2 \equiv -\alpha^2 k_\perp^2, \quad \bar{c}_{55} &= \frac{\omega_0^2 - \omega^2}{\Delta}, \\ \mu_{xx} = \mu_{yy} &= \frac{(\omega_0^2 + \omega_{me}^2)\epsilon}{\Delta} + 1, \end{aligned} \quad (5)$$

где

$$\begin{aligned} \omega_0^2 &\equiv g^2 M_0^2 \delta b, \quad \omega_{me}^2 \equiv \frac{g^2 M_0^4 \delta \gamma^2}{\mu_1}, \quad s_{1t}^2 \equiv \frac{\mu_1}{\rho_1}, \\ \Delta &\equiv \omega_0^2 + \omega_{me}^2 - \omega^2, \quad \epsilon \equiv \frac{16\pi}{\delta}. \end{aligned}$$

Таким образом, в данном случае упругая SH-волн на является однопарциальной по упругому смещению и немагнитодипольно-активной в объеме кристалла. Следуя стандартной методике расчета и учитывая (5), можно представить дисперсионное уравнение для спектра соответствующей сдвиговой поверхностной магнитозвуковой волны ($\mathbf{u} \parallel \mathbf{l} \parallel z$, $\mathbf{k} \in xy$), бегущей вдоль механически свободной границы раздела ($x = 0$) антиферромагнитной и немагнитной сред (выражения (1)–(4)), в следующем виде (для всех рассматриваемых значений β в электродинамической краевой задаче (4)):

$$\begin{aligned} \bar{c}_{55} \alpha_1 &= -D(\beta), \quad \alpha_1^2 \equiv 1 - \frac{\omega^2}{s_{1t}^2 \bar{c}_{55} k_\perp^2}, \\ D(\beta) &\equiv \frac{\epsilon_* \omega_{me}^2 \omega^2}{\Delta ((\omega_0^2 + \omega_{me}^2)\epsilon_* + \Delta)}, \quad \epsilon_* \equiv \frac{\epsilon}{1 + \beta}. \end{aligned} \quad (6)$$

Из анализа уравнений (5) и (6) следует, что закон дисперсии особой объемной SH-волны определяется из (5) соотношением $\alpha = 0$, а необходимым условием существования поверхностной SH-волны является выполнение неравенства

$$\omega_0^2 < \omega^2 < \omega_0^2 + \omega_{me}^2.$$

При этом следует подчеркнуть, что формирование рассматриваемого типа сдвиговой поверхностной магнитозвуковой волны на механически свободной границе раздела антиферромагнитной и немагнитной сред (условия (3), (4)) возможно только в результате гибридизации магнитоупругого ($\gamma \neq 0$) и магнитодипольного ($\epsilon \neq 0$) взаимодействий. В общем случае анализ дисперсионных соотношений (5), (6) возможен только численными методами, и поэтому ограничимся в дальнейшем изучением только отдельных частных случаев. Так, из (5), (6) следует,

что в длинноволновом пределе ($k_{\perp} \rightarrow 0$) закон дисперсии исследуемой сдвиговой поверхностной магнитозвуковой волны может быть получен из соотношения

$$k_{\perp}^2 \approx \frac{\omega^2 \bar{c}_{55} s_{1t}^{-2}}{\bar{c}_{55}^2 - D^2(0)}, \quad (7)$$

т.е. рассматриваемая поверхностная волна независимо от характера проводимости немагнитной среды (вида β) является волной прямого типа ($\partial \Omega_s(k_{\perp}) / \partial k_{\perp} > 0$). В коротковолновом (эластостатическом) пределе, $\omega / s_{1t} \ll k_{\perp}$, закон дисперсии поверхностной магнитозвуковой SH-волны (5), (6) определяется следующим соотношением:

$$\Omega_s^2(k_{\perp}) = \omega_0^2(1 + \epsilon_*). \quad (8)$$

Таким образом, из (8) следует, что если немагнитное полупространство при $x > 0$ занято сверхпроводником с лондоновской глубиной проникновения λ ($\beta \equiv \text{th}(k_{\perp}\lambda)$), то поверхностная волна (5), (6) с законом дисперсии $\Omega_s(k_{\perp})$ в коротковолновом пределе (8) является волной обратного типа ($\partial \Omega_s(k_{\perp}) / \partial k_{\perp} < 0$). В общем случае, как показывает совместный анализ выражений (5)–(8), для этого типа электродинамических граничных условий дисперсионная кривая сдвиговой поверхностной магнитозвуковой волны (5), (6) может иметь экстремум при $k_{\perp} \neq 0$. Его наличие, в частности, зависит от величины лондоновской глубины проникновения λ (рис. 1, кривая 1). Если же электродинамические условия (4) на механически свободной поверхности антиферромагнетика (1) таковы, что $\beta \equiv 0$ или $\beta \equiv 1$, то, как следует из (5)–(8), дисперсионные свойства рассматриваемого типа поверхностной волны будут определяться, в первую очередь, за счет эффекта акустического запаздывания (рис. 1, соответственно кривые 2 и 3).

В связи с активным изучением многослойных магнитных структур, созданных на основе антиферромагнитных и немагнитных материалов [21, 22], несомненный интерес представляет вопрос, как изменится спектр рассматриваемого типа поверхностной магнитозвуковой SH-волны, если упругие условия на границе раздела антиферромагнитной и немагнитной сред отвечают не механически свободной поверхности (3), а акустически сплошному (жесткому) контакту магнитной и немагнитной сред.

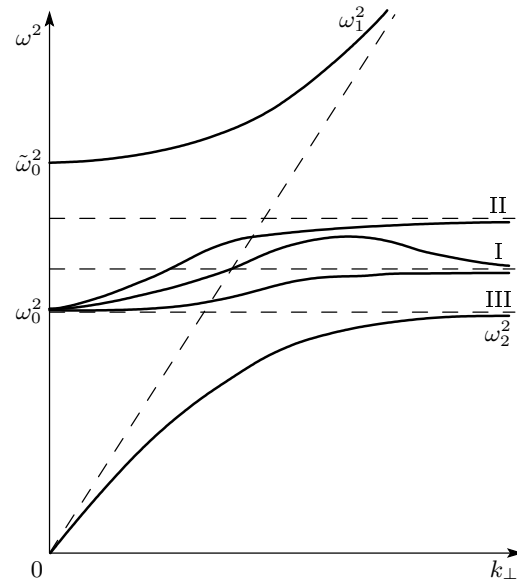


Рис. 1. Структура спектра сдвиговой поверхностной магнитозвуковой волны (5), (6) на механически свободной границе раздела (3), (4) между антиферромагнетиком и немагнитной средой: 1 — $\beta = \text{th}(k_{\perp}\lambda)$, $\Omega_s^2(k_{\perp} \gg 1) \approx \omega_0^2(1 + \epsilon/2)$; 2 — $\beta = 0$, $\Omega_s^2(k_{\perp} \gg 1) \approx \omega_0^2(1 + \epsilon)$; 3 — $\beta = 1$, $\Omega_s^2(k_{\perp} \gg 1) \approx \omega_0^2(1 + \epsilon/2)$; $\omega_0^2 \equiv \omega_0^2 + \omega_{me}^2$; величины $\omega_{1,2}^2$ определяются из (5) при условии $\alpha = 0$

3. ЖЕСТКИЙ КОНТАКТ АНТИФЕРРОМАГНИТНОЙ И НЕМАГНИТНОЙ СРЕД

Если по-прежнему антиферромагнитная среда (среда 1) занимает собой нижнее полупространство $x < 0$, а немагнитная среда (среда 2) представляет собой слой толщиной f ($f > \lambda$), внешняя поверхность которого $x = f$ механически свободна и покрыта бесконечно тонким слоем идеального сверхпроводника ($\mathbf{B}_2 \cdot \mathbf{n} = 0$ при $x = f$), то в этом случае для магнитодипольно-активной SH-волны ($\mathbf{u} \parallel z \parallel \mathbf{l}$, $\mathbf{k} \in xy$) система упругих и электродинамических граничных условий вместо (3), (4) примет вид

$$\begin{aligned} \sigma_{ix1} + \mu_1 a k_{\perp} u_{z1} &= 0 \quad (x = 0), \\ u_{z1}(x \rightarrow -\infty) &\rightarrow 0, \end{aligned} \quad (9)$$

$$\begin{aligned} \mathbf{B}_1 \cdot \mathbf{n} &= -\beta k_{\perp} \phi_1 \quad (x = 0), \\ \phi_1(x \rightarrow -\infty) &\rightarrow 0, \end{aligned} \quad (10)$$

где

$$a \equiv \frac{\mu_2}{\mu_1} \alpha_2 \text{th}(\alpha_2 k_{\perp} f), \quad \alpha_2^2 \equiv 1 - \frac{\omega^2 \rho_2}{k_{\perp}^2 \mu_2}.$$

Соответствующее дисперсионное уравнение для спектра поверхностной магнитозвуковой SH-волны, распространяющейся вдоль акустически сплошной границы раздела антиферромагнитной (1) и немагнитной (9), (10) сред, с учетом (5), (6) можно представить в виде ($\mathbf{k} \in xy$, $\mathbf{n} \parallel x$, $\mathbf{l} \parallel z$)

$$\bar{c}_{55}\alpha_1 + a + D(\beta) = 0. \quad (11)$$

В предельном случае $\mu_2 \rightarrow 0$ соотношение (11) совпадает с (6), т. е. совместно с (5) описывает закон дисперсии поверхностной магнитозвуковой SH-волны, локализованной вблизи механически свободной границы раздела магнитной и немагнитной сред. Если же в (5) и (11) перейти к пределу $f \rightarrow \infty$, то получим дисперсионное соотношение для поверхностной магнитозвуковой SH-волны, бегущей вдоль акустически сплошной границы антиферромагнитного и немагнитного полупространств. Из анализа уравнений (5) и (11) следует, что при $f < \infty$ по-прежнему необходимым условием существования исследуемой поверхностной магнитозвуковой SH-волны является выполнение неравенства

$$\omega_0^2 < \omega^2 < \omega_0^2 + \omega_{me}^2.$$

В случае немагнитного полупространства при $x > 0$ ($f \rightarrow \infty$) помимо указанного ограничения на частоту поверхностной волны требуется также и выполнение условия $\mu_2\rho_1 > \mu_1\rho_2$. При этом, однако, надо подчеркнуть, что формирование рассматриваемого типа сдвиговой поверхностной упругой волны в случае жесткого контакта антиферромагнитной и немагнитной сред (см. (9)) возможно уже в пренебрежении эффектом магнитодипольного взаимодействия ($\epsilon/\gamma \rightarrow 0$) и присутствии только магнитоупругого взаимодействия ($\gamma \neq 0$), что совпадает с результатами работы [12]. Поскольку полный анализ дисперсионных соотношений (5), (11) возможен только численными методами, в дальнейшем рассмотрим только некоторые частные случаи. Так, из (5), (11) следует, что при $\mu_2\rho_1 > \mu_1\rho_2$ в длинноволновом пределе ($k_\perp \rightarrow 0$) спектр рассматриваемой поверхностной волны имеет точку окончания

$$k_{min}^2 \equiv \omega_0^2\rho_1/\mu_1, \quad \Omega_s(k_{min}) = \omega_0,$$

и в ее окрестности, независимо от характера проводимости немагнитной среды (вида β) и упругих свойств немагнитного покрытия, такая поверхностная мода является волной прямого типа ($(\partial\Omega_s(k_\perp))/\partial k_\perp > 0$). Сравнение (6) и (11) показывает, что наиболее существенным влияние немагнитного покрытия на спектр изучаемой

поверхностной SH-волны оказывается в коротковолновом (эластостатическом) пределе $\omega/s_{1t} \ll k_\perp$.

В результате закон дисперсии поверхностной магнитозвуковой SH-волны (5), (11) примет вид

$$\Omega_s^2(k_\perp) = [\omega_0^2 + \omega_{me}^2 a_*/(1 + a_*)] (1 + \epsilon_*), \quad (12)$$

где

$$a_* \equiv \frac{\mu_2}{\mu_1} \operatorname{th}(k_\perp f).$$

Таким образом, в отличие от случая механически свободной границы раздела магнитной и немагнитной сред, (5) и (6), даже если немагнитный слой является диэлектриком ($\beta = 1$) или идеальным сверхпроводником ($\beta = 0$), наличие жесткого контакта при $x = 0$ приводит к формированию дисперсии у поверхностной моды рассматриваемого типа уже в коротковолновом пределе. При этом как для $\beta = 0$, так и для $\beta = 1$ дисперсионная кривая (12) отвечает волне прямого типа ($(\partial\Omega_s(k_\perp))/\partial k_\perp > 0$). Если же немагнитная среда ($0 < x < f$) представляет собой сверхпроводник с лондоновской глубиной проникновения λ ($\beta \equiv \operatorname{th}(k_\perp \lambda)$), то, как следует из (12), уже в эластостатическом пределе ($\omega/s_{1t} \ll k_\perp$) дисперсионная кривая рассматриваемого типа поверхностной магнитозвуковой SH-волны может иметь точку экстремума при $k_\perp \neq 0$. В частности, необходимым условием существования минимума является выполнение неравенства $\lambda < f$.

Как в случае механически свободной (3), так и в случае акустически сплошной (9) границы раздела магнитной и немагнитной сред условия формирования рассматриваемого типа поверхностной магнитозвуковой SH-волны (5), (6) или (5), (11) оказываются тесно связанными с условиями отражения нормальной магнитодипольно-активной упругой сдвиговой волны от поверхности антиферромагнитного кристалла ($x = 0$).

Расчет показывает, что коэффициент отражения R объемной поперечной волны, поляризованной перпендикулярно плоскости падения ($\mathbf{k} \in xy$, $\mathbf{u} \parallel l \parallel z$) для акустически сплошной границы раздела антиферромагнитного ($x < 0$, среда 1) и немагнитного ($x > 0$, среда 2) полупространств ($\mathbf{n} \parallel x$), определяемой при $f \rightarrow \infty$ и $\phi_2(x \rightarrow \infty) \rightarrow 0$, $u_{z2}(x \rightarrow \infty) \rightarrow 0$ соотношениями (9), (10), независимо от характера проводящих свойств немагнитной среды может быть представлен в виде

$$R = (i\bar{c}_{55} \cos \theta_1 - h) (i\bar{c}_{55} \cos \theta_1 + h)^{-1}, \quad (13)$$

$$h \equiv \frac{\epsilon \omega^2 \omega_{me}^2}{(\mu_{xx} + \beta) \Delta^2} \sin \theta_1 - \tilde{a} \cos \theta_2, \quad k_1^2 \equiv \frac{\omega^2}{s_{1t}^2 \bar{c}_{55}},$$

$$k_2^2 \equiv \frac{\omega^2 \rho_2}{\mu_2}, \quad \tilde{a} \equiv \frac{\mu_2 k_2}{\mu_1 k_1}, \quad \operatorname{tg} \theta \equiv k_y/k_x,$$

углы θ_1 и θ_2 определяют соответственно направление волнового вектора k_1 падающей SH-волны в антиферромагнитной среде ($\pi \leq \theta_1 \leq 3\pi/2$) и волнового вектора преломленной волны k_2 в среде 2 ($0 \leq \theta_2 \leq \pi/2$). В частном случае $\mu_2 = 0$ полученное соотношение отвечает коэффициенту отражения объемной магнитозвуковой SH-волны от механически свободной поверхности антиферромагнитного кристалла (3), (4).

Таким образом, из (13) следует, что характер отражения объемной магнитозвуковой SH-волны от механически свободной границы раздела между антиферромагнетиком и немагнитной средой качественно не отличается от характера отражения сдвиговой SH-волны от механически свободной поверхности кубического пьезокристалла [23, 24]. В частности, при любом угле падения нормальной упругой SH-волны на поверхность антиферромагнетика имеет место полное внутренне отражение ($|R| = 1$). Кроме того, в рассматриваемом случае гибридизация магнитоупругого и магнитодипольного взаимодействий ($\epsilon \neq 0, \gamma \neq 0$) приводит к невозможности скольжения вдоль поверхности магнитного кристалла объемной магнитозвуковой SH-волны (при $\theta_1 \rightarrow \pi, R \rightarrow -1$). В противном случае ($\epsilon/\gamma \rightarrow 0$ или $\gamma/\epsilon \rightarrow 0$) из (13) следует, что $R = 1$ при $\pi \leq \theta_1 \leq 3\pi/2$, т. е. без учета магнитодипольного ($\epsilon/\gamma \rightarrow 0$) или магнитоупругого ($\gamma/\epsilon \rightarrow 0$) взаимодействия вдоль механически свободной поверхности антиферромагнитного кристалла ($\mu_2 = 0$) возможно распространение особой объемной SH-волны. Полюс найденного коэффициента отражения R (13) с учетом замены

$$ik_1 \cos \theta_1 \rightarrow \alpha_1 k_{\perp}; \quad k_1 \sin \theta_1 \rightarrow k_{\perp}$$

совпадает с найденными выше дисперсионными соотношениями для спектра поверхности сдвиговой магнитозвуковой волны (5), (6) или (5), (11). Необходимо отметить, что если граница раздела антиферромагнитной и немагнитной сред является акустически сплошной, (9) и (10), то из (13) следует, что в этом случае в соответствии с (5), (11) достаточное условие невозможности распространения вдоль границы раздела магнитной и немагнитной сред однородной SH-волны ($R(\theta_1 \rightarrow \pi/2) \rightarrow -1$) при $\mu_2 \neq 0$ выполняется уже в пренебрежении магнитодипольным взаимодействием ($\epsilon/\gamma \rightarrow 0$). Это согласуется с тем, что, как уже было отмечено выше, для данной структуры возможно формирование в этом направлении бегущей поверхностью SH-волны за счет

только магнитоупругого взаимодействия ($\gamma \neq 0$). Соответствующее дисперсионное соотношение также определяется из (13) уравнением

$$R^{-1} = 0$$

при $\epsilon/\gamma \rightarrow 0$ и замене

$$ik_1 \cos \theta_1 \rightarrow \alpha_1 k_{\perp}, \quad k_1 \sin \theta_1 \rightarrow k_{\perp},$$

$$ik_2 \cos \theta_2 \rightarrow -\alpha_2 k_{\perp}.$$

Расчет показывает, что в рассматриваемом случае при отражении нормальной объемной SH-волны от поверхности антиферромагнетика (1) аномальным поведением обладает не только амплитуда коэффициента отражения R , но и его фаза ψ ($R = |R| \exp(i\psi)$). В силу того что $h \neq 0$ как при $\mu_2 \rightarrow 0$, так и при $\epsilon/\mu_2 \rightarrow 0$, фаза отраженной сдвиговой волны будет отличаться от фазы падающей упругой SH-волны как для механически свободной поверхности антиферромагнетика (1), так и для акустически сплошной границы раздела антиферромагнитного и немагнитного полупространств. В общем случае обсуждаемый фазовый сдвиг зависит не только от частоты ω и волнового числа k_{\perp} падающей упругой волны, но также и от упругих (μ_2) и проводящих (λ) свойств немагнитной среды. Одним из практически важных следствий эффекта полного внутреннего отражения является эффект Шоха, состоящий в смещении вдоль границы пучка отраженных упругих волн [25]. Если k_{\perp} — волновое число пучка, то в соответствии с [25, 26] его смещение Δ_s при отражении от границы определяется с помощью соотношения

$$\Delta_s = -\frac{\partial \psi}{\partial k_{\perp}}. \quad (14)$$

Из (13), (14) следует, что величина Δ_s зависит от знака и величины отношения h/\bar{c}_{55} . При этом в зависимости от соотношения параметров, входящих в это отношение, величина сдвига Δ_s может быть как положительной, так и отрицательной. В частности, максимум Δ_s достигается при выполнении условия $\mu_{xx} + \beta = 0$, что соответствует частоте поверхностной магнитостатической волны, распространяющейся вблизи границы раздела антиферромагнитной и немагнитной сред [22].

Учитывая результаты этого и предыдущего разделов, можно ожидать, что рассматриваемый механизм локализации поверхностной магнитозвуковой SH-волны будет эффективным и в случае структуры типа «магнитного бутерброда» (magnetic sandwich),

представляющей собой два идентичных антиферромагнитных полупространства, разделенных немагнитным слоем диэлектрической или сверхпроводящей среды. В связи с этим следующий раздел связан с изучением условий формирования для такой структуры нового типа щелевой магнитозвуковой SH-волны, индуцированной гибридизацией магнитодипольного и магнитоупругого взаимодействий.

4. СТРУКТУРА ТИПА АНТИФЕРРОМАГНЕТИК–НЕМАГНЕ- ТИК–АНТИФЕРРОМАГНЕТИК

Пусть верхнее и нижнее полупространства ($x < -d$ и $x > d$) заняты антиферромагнетиком (1), промежуток между ними ($-d < x < d$) заполнен немагнитной средой (среда 2), а обе поверхности раздела рассматриваемой структуры ($x = \pm d$) механически свободны. Если по-прежнему $\mathbf{l} \parallel z \parallel \mathbf{u}$, $\mathbf{k} \in xy$, то соответствующая система упругих и электродинамических граничных условий, отвечающая упругой SH-волне, локализованной вблизи немагнитного слоя, может быть представлена в виде

$$\sigma_{ix1} = 0 \quad (x = \pm d), \quad u_{z1}(x \rightarrow \pm \infty) \rightarrow 0, \quad (15)$$

$$\left. \begin{array}{l} \mathbf{B}_1 \cdot \mathbf{n} = \mathbf{B}_2 \cdot \mathbf{n}, \\ \phi_1 = \phi_2, \end{array} \right\} x = \pm d, \quad \phi_1(x \rightarrow \pm \infty) \rightarrow 0. \quad (16)$$

Как показывает расчет, в такой трехслойной структуре возможно распространение сдвиговой щелевой магнитозвуковой SH-волны с $\mathbf{k}_\perp \parallel y$ вдоль границы раздела магнитной и немагнитной сред. Она формируется в результате гибридизации двух сдвиговых поверхностных магнитозвуковых волн в каждом из полупространств вследствие косвенного взаимодействия этих колебаний через магнитостатическое поле в немагнитной щели, разделяющей оба антиферромагнитных полупространства ($-d < x < d$). Закон дисперсии такой щелевой сдвиговой магнитозвуковой волны состоит из двух ветвей, $\Omega_\pm(k_\perp)$, спектр которых с учетом (5), (6) определяется соотношением вида

$$\bar{c}_{55}\alpha_1 = -D(\beta_\pm), \quad (17)$$

где

$$D(\beta_\pm) \equiv \frac{\epsilon_\pm \omega_{me}^2 \omega^2}{\Delta [(\omega_0^2 + \omega_{me}^2)\epsilon_\pm + \Delta]},$$

$$\epsilon_\pm \equiv \frac{\epsilon}{1 + \beta_\pm},$$

$$\begin{aligned} \beta_+ &= \text{th}(k_\perp d) \quad \text{для } \Omega_+(k_\perp), \\ \beta_- &= \text{cth}(k_\perp d) \quad \text{для } \Omega_-(k_\perp). \end{aligned}$$

Необходимым условием существования щелевой магнитозвуковой SH-волны (5), (17), так же как и в случае (5), (6), является выполнение соотношения

$$\omega_0^2 < \omega^2 < \omega_0^2 + \omega_{me}^2$$

и одновременный учет как магнитоупругого ($\gamma \neq 0$), так и магнитостатического ($\epsilon \neq 0$) взаимодействий.

В длинноволновом пределе $k_\perp \rightarrow 0$ закон дисперсии $\Omega_+(k_\perp)$ исследуемой сдвиговой щелевой магнитозвуковой волны совпадает с (7), а для $\Omega_-(k_\perp)$ он определяется соотношением вида

$$k_\perp^2 \approx \frac{\omega^2 \bar{c}_{55} s_{1t}^{-2}}{\bar{c}_{55}^2 - D^2(\infty)}. \quad (18)$$

В эластостатическом пределе ($\omega/s_{1t}k_\perp \ll 1$) обе ветви спектра сдвиговой щелевой магнитозвуковой волны (5), (17) обладают дисперсией и определяются соотношением (8) с $\beta = \beta_+$ для $\Omega_+(k_\perp) = \Omega_s(k_\perp)$ и $\beta = \beta_-$ для $\Omega_-(k_\perp) = \Omega_s(k_\perp)$. Таким образом, в рассматриваемой трехслойной структуре «низкочастотная» ветвь исследуемого спектра сдвиговых щелевых магнитозвуковых волн является волной прямого типа ($\partial\Omega_+(k_\perp)/\partial k_\perp > 0$), а «высокочастотная» — обратного типа ($\partial\Omega_-(k_\perp)/\partial k_\perp < 0$) уже для границы раздела между антиферромагнетиком и немагнитным диэлектриком. При $k_\perp d \rightarrow \infty$ их дисперсионные кривые стремятся к одному и тому же пределу, определяемому соотношением

$$\Omega_\pm(k_\perp \rightarrow \infty) = \omega_0 \sqrt{1 + \epsilon/2}.$$

Дополнительные особенности в спектре обсуждаемого типа щелевых магнитозвуковых SH-волн возникают, если исследуемая трехслойная структура (два идентичных антиферромагнитных полупространства и немагнитная прослойка) является акустически сплошной, а сама немагнитная прослойка — идеальным сверхпроводником ($\lambda = 0$). В этом случае соответствующая система упругих и электродинамических граничных условий может быть представлена в виде

$$\left. \begin{array}{l} \sigma_{ix1} = \sigma_{ix2}, \\ \mathbf{u}_1 = \mathbf{u}_2, \end{array} \right\} x = \pm d, \quad \mathbf{u}_1(x \rightarrow \pm \infty) \rightarrow 0, \quad (19)$$

$$\mathbf{B}_1 \cdot \mathbf{n} = 0 \quad (x = \pm d), \quad \phi_1(x \rightarrow \pm \infty) \rightarrow 0. \quad (20)$$

В результате для $\mathbf{k} \in xy$, $\mathbf{n} \parallel x$, $\mathbf{l} \parallel z \parallel \mathbf{u}$, $|\mathbf{H}_0| = 0$ спектр рассматриваемой щелевой магнитозвуковой

SH-волны также состоит из двух ветвей: симметричной и антисимметричной. В отличие от (5), (17), классификация ветвей спектра этого типа щелевых волн основана на характере распределения упругих смещений $\mathbf{u} \parallel z$ в немагнитной прослойке относительно срединной плоскости $x = 0$. Расчет показывает, что теперь формирование щелевой SH-волны является результатом гибридизации двух сдвиговых поверхностных магнитозвуковых волн в каждом из полупространств вследствие косвенного взаимодействия этих колебаний через поле упругих смещений ($\mathbf{u} \parallel z$) в немагнитной сверхпроводящей щели, разделяющей оба антиферромагнитных полупространства ($-d < x < d$). С учетом (5), (6) дисперсионное уравнение для спектра щелевой магнитозвуковой SH-волны в случае (19), (20) может быть представлено в виде

$$\bar{c}_{55}\alpha_1 + a_{\pm} = -D(0), \quad (21)$$

где

$$\begin{aligned} a_+ &\equiv (\mu_2/\mu_1)\alpha_2 \operatorname{th}(\alpha_2 k_{\perp} d) \quad \text{для } \Omega_+(k_{\perp}), \\ a_- &\equiv (\mu_2/\mu_1)\alpha_2 \operatorname{cth}(\alpha_2 k_{\perp} d) \quad \text{для } \Omega_-(k_{\perp}). \end{aligned}$$

Совместный анализ (5), (6), (21) показывает, что, как и следовало ожидать, структура ветви $\Omega_+(k_{\perp})$ качественно не отличается от рассмотренного выше случая жесткого контакта (5), (11) антиферромагнитного полупространства и сверхпроводящего слоя, толщина которого d , а лондоновская глубина проникновения $\lambda = 0$. Соответствующая дисперсионная кривая отвечает волне прямого типа ($\partial\Omega_+(k_{\perp})/\partial k_{\perp} > 0$). Что же касается ветви $\Omega_-(k_{\perp})$ рассматриваемой щелевой SH-волны (5), (21), то наиболее важным ее отличием, индуцированным жестким контактом магнитной и немагнитной сред, является выполнение соотношения $\partial\Omega_-(k_{\perp})/\partial k_{\perp} < 0$ уже в эластостатическом пределе. Учет конечности эффекта акустического запаздывания приводит к формированию при $k_{\perp} \neq 0$ максимума на этой дисперсионной кривой. При $k_{\perp} d \rightarrow \infty$

$$\Omega_{\pm}^2(k_{\perp} \rightarrow \infty) = \left(\omega_0^2 + \frac{\omega_{me}^2}{1 + \mu_1/\mu_2} \right) (1 + \epsilon).$$

Как в случае (5), (17), так и в случае (5), (21), нижняя ветвь $\Omega_-(k_{\perp})$ спектра рассмотренной щелевой магнитозвуковой волны при условии $2d \rightarrow \infty$ совпадает с найденными выше выражениями для спектра поверхностной магнитозвуковой SH-волны, бегущей соответственно как вдоль механически свободной, так и акустически сплошной границы раздела

антиферромагнитного и сверхпроводящего полупространств. При этом для сравнения со случаем (5), (17) в соотношениях (5), (6) необходимо считать, что $\beta = 1$, а со случаем (5), (21) — $\beta = 0$.

Анализ показывает, что как в случае (15)–(17), так и в случае (19)–(21) спектр исследованной выше щелевой магнитоупругой SH-волны для структуры антиферромагнетик–немагнетик–антиферромагнетик тесно связан со спектром поверхностной волны, формирующейся в структуре немагнетик–антиферромагнетик–немагнетик.

5. СПЕКТР ПОВЕРХНОСТНОЙ МАГНИТОЗВУКОВОЙ SH-ВОЛНЫ В АНТИФЕРРОМАГНИТНОЙ ПЛАСТИНЕ

Рассмотрим антиферромагнитную (среда 1) пластину толщиной $2d$, считая, что обе ее поверхности ($x = \pm d$) имеют сплошной акустический контакт с немагнитным (среда 2) полупространством ($x > d$ и $x < -d$) при условии, что по-прежнему $\mathbf{n} \parallel x$, $\mathbf{k} \in xy$, $\mathbf{l} \parallel \mathbf{u} \parallel z$. Соответствующая система граничных условий имеет вид

$$\left. \begin{aligned} \sigma_{ix1} &= \sigma_{ix2}, \\ \mathbf{u}_1 &= \mathbf{u}_2, \end{aligned} \right\} x = \pm d, \quad \mathbf{u}_2(x \rightarrow \pm\infty) \rightarrow 0, \quad (22)$$

$$\begin{aligned} \mathbf{B}_1 \cdot \mathbf{n} &= \mathbf{B}_2 \cdot \mathbf{n} \quad (x = \pm d), \\ \phi_2(x \rightarrow \pm\infty) &\rightarrow 0. \end{aligned} \quad (23)$$

С учетом (5) решение такой краевой задачи при $-d \leq x \leq d$ можно искать в виде

$$\begin{aligned} u_{z1} &= [u_+ \exp(-\alpha_1 k_{\perp} x) + u_- \exp(\alpha_1 k_{\perp} x)] \times \\ &\times \exp(i\omega t - ik_{\perp} y), \\ \phi_1 &= [\phi_+ \exp(-k_{\perp} x) + \phi_- \exp(k_{\perp} x)] \times \\ &\times \exp(i\omega t - ik_{\perp} y), \end{aligned} \quad (24)$$

при $x > d$ —

$$\begin{aligned} u_{z2} &= u_0 \exp(-\alpha_2 k_{\perp} x) \exp(i\omega t - ik_{\perp} y), \\ \phi_2 &= \phi_0 \exp(-k_{\perp} x) \exp(i\omega t - ik_{\perp} y) \end{aligned}$$

и при $x < -d$ —

$$\begin{aligned} u_{z2} &= u_0 \exp(\alpha_2 k_{\perp} x) \exp(i\omega t - ik_{\perp} y), \\ \phi_2 &= \phi_0 \exp(k_{\perp} x) \exp(i\omega t - ik_{\perp} y). \end{aligned}$$

В результате расчет спектра сдвиговых магнитоупругих волн показывает, что в данном случае возможно одновременное и независимое распространение с одним и тем же волновым числом k_{\perp} двух

типов нормальных магнитоупругих волн SH-типа, в которых распределение вектора упругих смещений $\mathbf{u} \parallel \mathbf{l} \parallel z$ может быть симметричным или антисимметричным относительно срединной плоскости пластины $x = 0$ ($\lambda < 2d$ — глубина проникновения магнитного поля в немагнитную сверхпроводящую среду, $\bar{a} \equiv \mu_2 \alpha_2 / \mu_1$):

$$\begin{aligned} u_+ &= u_-, \quad \phi_+ = -\phi_-, \\ [\bar{c}_{55}\alpha_1 \operatorname{th}(\alpha_1 k_\perp d) + \bar{a}] [\mu_{xx} \operatorname{cth}(k_\perp d) + \beta] + & \quad (25) \\ + \epsilon \omega_{me}^2 \omega^2 / \Delta^2 &= 0, \end{aligned}$$

$$\begin{aligned} u_+ &= -u_-, \quad \phi_+ = \phi_-, \\ [\bar{c}_{55}\alpha_1 \operatorname{cth}(\alpha_1 k_\perp d) + \bar{a}] [\mu_{xx} \operatorname{th}(k_\perp d) + \beta] + & \quad (26) \\ + \epsilon \omega_{me}^2 \omega^2 / \Delta^2 &= 0. \end{aligned}$$

Из (25), (26) следует, что в коротковолновом пределе ($\alpha_{1,2} \rightarrow 1$) спектр щелевых магнитоупругих SH-волн для акустически сплошной структуры антиферромагнетик—сверхпроводник—антиферромагнетик совпадает со спектром поверхностных магнитоупругих SH-волн, распространяющихся вдоль акустически сплошной структуры немагнетик—антиферромагнетик—немагнетик. При этом такое соответствие сохраняется как в случае, когда все поверхности раздела механически свободные, $\mu_2 = 0$, (15)–(17), так и в случае $\beta/\mu_2 \rightarrow 0$, (19)–(21), когда обе структуры являются акустически сплошными.

До сих пор весь анализ был проведен в пренебрежении эффектом пространственной дисперсии, который в магнитной среде обусловлен, в первую очередь, неоднородным обменным взаимодействием ($\delta_* > 0$ — константа неоднородного обменного взаимодействия). В результате при расчете спектра поверхностных магнитозвуковых SH-фононов в плотности термодинамического потенциала (1) не учитывалось слагаемое $0.5\delta_*(\nabla \mathbf{l})^2$ (считается, что при $|\mathbf{H}_0| = 0$ в обменно-коллинеарном антиферромагнетике $|\mathbf{m}| \ll |\mathbf{l}|$). Одновременный учет магнитодипольного, магнитоупругого и неоднородного обменного взаимодействий приводит к существенному усложнению соответствующей граничной задачи, поскольку приходится наряду с упругими и электродинамическими граничными условиями учитывать также и индуцированные обменом добавочные граничные условия, определяющие поведение магнитного момента на поверхности магнитной среды.

Результаты анализа влияния неоднородного обменного взаимодействия на условия формирования и дисперсионные свойства поверхностных магнитозвуковых SH-волн для антиферромагнетика, у которого температура Нееля T_N ниже, чем температура Дебая T_D , изложены в следующем разделе.

6. ЭФФЕКТЫ НЕОДНОРОДНОГО ОБМЕННОГО ВЗАЙМОДЕЙСТВИЯ

Пренебрегая эффектами поверхностной магнитной реконструкции, в качестве добавочных граничных условий в данной работе выберем обменные граничные условия Радо—Уиртмена [27], что соответствует поверхности магнетика ($x = 0$) с полностью свободными спинами:

$$\begin{aligned} \frac{\partial \tilde{\mathbf{l}}}{\partial x} &= \frac{\partial \tilde{\mathbf{m}}}{\partial x} = 0, \quad x = 0, \\ \tilde{l}(x \rightarrow -\infty) &\rightarrow 0, \quad \tilde{m}(x \rightarrow -\infty) \rightarrow 0 \end{aligned} \quad (27)$$

(здесь $\tilde{\mathbf{m}}$ и $\tilde{\mathbf{l}}$ описывают соответственно малые отклонения векторов ферромагнетизма \mathbf{m} и антиферромагнетизма \mathbf{l} от равновесных ориентаций).

Если по-прежнему $\mathbf{n} \parallel x$, $\mathbf{k} \in xy$, $\mathbf{l} \parallel \mathbf{u} \parallel z$, то учет в (1) дополнительного слагаемого $0.5\delta_*(\nabla \mathbf{l})^2$, индуцированного неоднородным обменным взаимодействием, показывает, что в этом случае соответствующее характеристическое уравнение существенно усложняется:

$$\{[s_{1t}^2(k_\perp^2 - q^2) - \omega^2] [\Delta + c^2(k_\perp^2 - q^2)] - \omega_{me}^2\} [\Delta + c^2(k_\perp^2 - q^2)] [k_\perp^2 - q^2] = 0, \quad (28)$$

где $k_x^2 \equiv -q^2$, $k_y^2 \equiv k_\perp^2$, $c^2 = g^2 M_0^2 \delta_*$. Из (28) следует, что наличие пространственной дисперсии ($\delta_* \neq 0$) приводит к формированию дополнительных парциальных волн (двух для легкоосного антиферромагнетика), участвующих в формировании нормальной магнитозвуковой SH-волны. В результате при $\delta_* \neq 0$ распространяющаяся в легкоосном антиферромагнетике сдвиговая магнитозвуковая волна с $\mathbf{u} \parallel \mathbf{l} \parallel z$, $\mathbf{k} \in xy$, $\mathbf{n} \parallel x$ является четырехпарциальной волной.

Расчет показывает, что в случае (28) при $\delta_* \neq 0$ (уже без учета диссипации) закон дисперсии поверхностной SH-моды $\Omega_s(k_\perp)$, определяемый из (3), (4), (27) или (9), (10), (27) в зависимости от типа акустического контакта на границе раздела магнитной и немагнитной сред, будет иметь как действительную $\Omega_{sR}(k_\perp)$, так и мнимую $\Omega_{sI}(k_\perp)$ части:

$$\Omega_s(k_\perp) = \Omega_{sR}(k_\perp) + i\Omega_{sI}(k_\perp), \quad \operatorname{Im} \Omega_{sR,I}(k_\perp) = 0.$$

При $\delta_* \rightarrow 0$

$$\Omega_{sI}(k_\perp) \rightarrow 0, \quad \Omega_{sR}(k_\perp) \rightarrow \Omega_s(k_\perp).$$

Это говорит о том, что в случае магнитного полупространства при $\delta_* \neq 0$ рассматриваемая поверхностная магнитозвуковая SH-волну превращается в

вытекающую (leaky) волну. Как следует из (28), физический механизм вытекания данной поверхностной моды связан с тем, что существование пространственной дисперсии в магнитной среде (неоднородного обменного взаимодействия) приводит к появлению дополнительных парциальных волн, участвующих в формировании нормальной сдвиговой магнитозвуковой волны. Одна из этих дополнительных парциальных волн в области существования «безобменной» ($\delta_* \rightarrow 0$) поверхностной магнитозвуковой SH-волны (5), (6) или (5), (11) является волной тригонометрического типа, что ведет к перекачке энергии из бегущей вдоль границы раздела магнитной и немагнитной сред поверхностной магнитозвуковой SH-моды вглубь магнитного материала.

С ростом волнового числа k_\perp вклад обменного механизма в динамические свойства магнитной среды возрастает, и в коротковолновом пределе дисперсионные кривые для спектра поверхностной магнитозвуковой SH-волны всегда будут отвечать волне прямого типа ($\partial\Omega_{sR}(k_\perp)/\partial k_\perp > 0$). В частности, в случае легкоосного антиферромагнетика при $\delta_* \neq 0$ выражение для $\Omega_{sR}(k_\perp)$ в эластостатическом пределе ($\omega/s_{1t} \ll k_\perp$) по-прежнему будет определяться выражениями (5) и (6) с учетом замены $\omega_0^2 \rightarrow \omega_0^2 + c^2 k_\perp^2$. В результате на механически свободной границе раздела легкоосного антиферромагнетика и сверхпроводника на дисперсионной кривой исследуемого типа поверхностной магнитозвуковой SH-волны при $\delta_* \neq 0$ уже в пренебрежении эффектом акустического запаздывания возможно формирование минимума при $k_\perp \neq 0$, если лондоновская глубина проникновения магнитного поля в сверхпроводник λ отлична от нуля (т. е. $\beta \equiv \text{th}(k_\perp \lambda) \neq 0$ в (4)).

Однако этим не исчерпываются эффекты, связанные с влиянием пространственной дисперсии магнитной среды (неоднородного обменного взаимодействия) на спектр и условия формирования рассматриваемого типа поверхностной магнитозвуковой SH-волны. Как показывает анализ, учет в (1) наличия неоднородного обменного взаимодействия ($0.5\delta_*(\nabla\mathbf{l})^2$) может быть принципиально важным и для трансформации особой объемной магнитозвуковой SH-волны в сдвиговую поверхностную волну, бегущую вдоль механически свободной границы магнитоупорядоченного кристалла.

В качестве примера рассмотрим полуограниченный легкоосный антиферромагнетик (1) с механически свободной поверхностью (3). Пусть вектор нормали к поверхности \mathbf{n} коллинеарен легкой оси антиферромагнетика z и сагиттальная плоскость

совпадает с плоскостью xz ($\mathbf{k} \in xz$). Расчет показывает, что в такой геометрии в пренебрежении пространственной дисперсией магнитной среды ($\delta_* \rightarrow 0$) формирование поверхностной магнитозвуковой SH-волны ($\mathbf{u} \parallel y$) за счет гибридизации магнитодипольного и магнитоупругого взаимодействий невозможно. Будем считать, что для механически свободной поверхности $z = 0$ одновременно с добавочными (обменными) граничными условиями (27) выполняются также упругие граничные условия (3) и электродинамические граничные условия (4)²⁾, в которых $\beta = \infty$. О возможных физических механизмах реализации такого электродинамического условия см., например, [20]. Если $\mathbf{k} \in xz$, $\mathbf{l} \parallel z$, $\mathbf{u} \parallel y$, то соответствующее дисперсионное уравнение определяется соотношением

$$(s_{1t}^2 \mathbf{k}^2 - \omega^2) \left(\Delta + c^2 \mathbf{k}^2 + \frac{\omega^2 k_x^2}{\mathbf{k}^2 + \epsilon k_x^2} \right) - \omega_{me}^2 s_{1t}^2 k_z^2 = 0. \quad (29)$$

Из совместного анализа (29) и (13) следует, что при $\mathbf{n} \parallel z$ в выбранной геометрии без учета неоднородного обменного взаимодействия ($\delta_* \rightarrow 0$) для $\beta = \infty$ имеет место скольжение вдоль поверхности магнитного кристалла однородной объемной магнитозвуковой SH-волны ($\mathbf{u} \parallel y$) и, следовательно, локализация сдвиговой магнитодипольно-активной волны на механически свободной поверхности антиферромагнетика в этом случае невозможна. Если же учесть наличие пространственной дисперсии в исследуемой магнитной среде ($\delta_* \neq 0$ в (29) и дополнительное граничное условие (27)), то расчет показывает, что влияние неоднородного обмена приводит к невозможности распространения вдоль поверхности с $\mathbf{n} \parallel z$ и $\beta = \infty$ объемной однородной двухпарциальной магнитозвуковой SH-волны ($\mathbf{u} \parallel y$, $\mathbf{l} \parallel z$, $\mathbf{k} \in xz$). Это является необходимым условием для формирования в магнитной среде ($z < 0$) трехпарциальной сдвиговой поверхностной магнитозвуковой волны. В результате пространственная структура, например, вектора упругих смещений $\mathbf{u} \parallel y$ в такой волне может быть представлена в виде

$$u_{y1} = \sum_{i=1}^3 A_i \exp(q_i z) \exp(i\omega t - ik_\perp x), \quad (30)$$

где q_{1-3} ($k_\perp^2 \equiv k_y^2$) — только те из шести корней уравнения (29), которые удовлетворяют условию локали-

²⁾ Для данного случая необходимо в (3), (4) и (27) произвести замены $x \rightarrow z$, $u_z \rightarrow u_y$.

зации рассматриваемой SH-волны вблизи поверхности антиферромагнетика:

$$\begin{aligned} u_{y1}(z \rightarrow -\infty) &\rightarrow 0, \quad \phi_1(z \rightarrow -\infty) \rightarrow 0, \\ \tilde{l}_y(z \rightarrow -\infty) &\rightarrow 0, \quad \tilde{m}_x(z \rightarrow -\infty) \rightarrow 0. \end{aligned}$$

Это дает возможность на основе (29), (30) изучить влияние неоднородного обменного взаимодействия на степень локализации бегущей магнитозвуковой SH-волны вблизи поверхности антиферромагнитного кристалла ($z = 0$), считая частоту ω и волновое число k_\perp заданными внешними параметрами. Из (29) следует, что в эластостатическом пределе ($\omega/s_{1t} \ll k_\perp$) с точностью до $\epsilon^2 \ll 1$ имеем $q_1^2 \approx (1 + \epsilon)k_\perp^2$, а $q_{2,3}^2$ являются корнями уравнения

$$q^4 - P_1 q^2 + P_2 = 0, \quad (31)$$

где

$$\begin{aligned} P_1 &= \frac{1}{c^2} (\omega_0^2 + 2c^2 k_\perp^2 - \omega^2), \\ P_2 &= \frac{k_\perp^2}{c^2} [\omega_0^2 + c^2 k_\perp^2 + \omega_{me}^2 - \omega^2(1 - \epsilon)]. \end{aligned}$$

Совместный анализ уравнений (30), (31) показывает, что в зависимости от величины частоты ω и волнового числа k_\perp возможно формирование двух типов распространяющихся трехпарциальных поверхностных магнитозвуковых SH-волн, различающихся характером своей пространственной локализации вблизи поверхности антиферромагнитного кристалла:

I. поверхностная магнитозвуковая SH-волна ($q_{1-3}^2 > 0$)

$$\begin{aligned} k_1 < k_\perp, \quad \omega_+^2(k_\perp) &< \omega^2 < \frac{\omega_0^2 + \omega_{me}^2 + c^2 k_\perp^2}{1 - \epsilon}, \\ 0 < k_\perp < k_2, \quad \omega^2 &< \omega_-^2(k_\perp); \end{aligned} \quad (32)$$

II. обобщенная поверхностная магнитозвуковая SH-волна ($q_1^2 > 0$, $q_2^2 = (q_3^2)^*$, звездочка обозначает комплексное сопряжение)

$$\omega_-^2(k_\perp) < \omega^2 < \omega_+^2(k_\perp); \quad (33)$$

III. объемная магнитозвуковая SH-волна типа A ($q_1^2 > 0$, $q_{2,3}^2 < 0$)

$$\begin{aligned} 0 < k_\perp < k_1, \\ \omega_+^2(k_\perp) &< \omega^2 < \frac{\omega_0^2 + \omega_{me}^2 + c^2 k_\perp^2}{1 - \epsilon}, \end{aligned} \quad (34)$$

IV. объемная магнитозвуковая SH-волна типа B ($q_{1,2}^2 > 0$, $q_3^2 < 0$)

$$(\omega_0^2 + \omega_{me}^2 + c^2 k_\perp^2)/(1 - \epsilon) < \omega^2. \quad (35)$$

Здесь $\omega_\pm^2(k_\perp)$ — положительные корни уравнения $P_1^2 = 4P_2$, а $k_{1,2}$ определяются соотношениями

$$k_1^2 \equiv (\epsilon\omega_0^2 + \omega_{me}^2)/(1 - 2\epsilon), \quad \omega_-^2(k_2) = 0.$$

Из анализа выражений (30)–(33) следует, что в рассматриваемой геометрии ($\mathbf{u} \parallel y$, $\mathbf{k} \in xz$, $\mathbf{n} \parallel z$) одной из характерных особенностей спектра магнитозвуковых SH-волн, индуцированных учетом неоднородного обмена, является, в частности, наличие на плоскости параметров ω и k_\perp «высокочастотных» и «низкочастотных» зон существования сдвиговых поверхностных магнитозвуковых волн.

Пользуясь соотношениями (30)–(33), теперь можно перейти к более подробному исследованию возможности формирования за счет неоднородного обменного взаимодействия сдвиговой трехпарциальной поверхности магнитозвуковой волны с $\mathbf{k} \in xz$, $\mathbf{u} \perp \mathbf{l} \parallel z$, $\mathbf{n} \parallel z$ вблизи механически свободной поверхности антиферромагнетика (см. (3), (4) с $\beta = \infty$). Расчет показывает, что спектр данной трехпарциальной сдвиговой магнитозвуковой волны может быть найден в явном виде, если ограничиться эластостатическим приближением. Соответствующее дисперсионное уравнение имеет вид

$$q_2^2 + q_3^2 + q_2 q_3 - k_\perp^2 = 0. \quad (36)$$

Отсюда следует, что с учетом (30), (31) закон дисперсии поверхностной магнитозвуковой SH-волны, индуцированной неоднородным обменным взаимодействием, определяется следующим выражением:

$$\Omega_s^2(k_\perp) = 0.5N_1 + \sqrt{0.25N_1^2 - N_2}, \quad (37)$$

где

$$N_1 = 2\omega_0^2 + c^2 k_\perp^2 (1 - \epsilon),$$

$$N_2 = (\omega_0^2 + c^2 k_\perp^2)^2 - c^2 k_\perp^2 (\omega_0^2 + c^2 k_\perp^2 + \omega_{me}^2).$$

Сопоставление (36), (37) с соотношениями (32), (33) показывает, что если $0 < k_\perp < k_{**}$ (с помощью (32)–(37) k_{**} определяется из уравнения $\Omega_s^2(k_{**}) = \omega_+^2(k_\perp)$), то рассматриваемая сдвиговая поверхностная мода является трехпарциальной обобщенной поверхностной магнитозвуковой SH-волной ($q_1^2 > 0$, $q_2^2 = (q_3^2)^*$), дисперсионная кривая которой при $k_\perp = k_{**}$ переходит в трехпарциальную поверхностную магнитозвуковую SH-волну ($q_{1-3}^2 > 0$). Из (36), (37) следует, что без учета неоднородного обменного взаимодействия ($\delta_* \rightarrow 0$) данный тип локализованных магнитоупругих возбуждений не реализуется.

Этот вывод может быть подтвержден и путем расчета коэффициента отражения R сдвиговой упругой волны ($\mathbf{u} \parallel y$, $\mathbf{k} \in xz$) от поверхности антиферромагнетика (26) с $\mathbf{n} \parallel z$ и граничными условиями (3), (27) и (4) при $\beta = \infty$. В частности, если $k_z \rightarrow 0$, то $R \rightarrow -1$ для $\delta_* \neq 0$ и $R \rightarrow 1$ для $\delta_* = 0$.

Анализ показывает, что для легкоосного антиферромагнетика (29) при учете эффекта пространственной дисперсии среды (неоднородного обменного взаимодействия) условия формирования поверхностной магнитозвуковой SH-волны оказываются связанными не только с амплитудными характеристиками падающей и отраженной сдвиговых нормальных магнитозвуковых волн (коэффициентом отражения), но и с локальной геометрией ее изочастотной поверхности, построенной в эластостатическом приближении.

В качестве примера рассмотрим двухподрешеточную модель легкоосного антиферромагнетика (1) при условии, что $\mathbf{u} \parallel y$, $\mathbf{k} \in xz$ и $\mathbf{n} \parallel z$. В этом случае в пренебрежении акустическим запаздыванием ($(\omega/(s_{11}k_\perp)) \rightarrow 0$) форма сечения в \mathbf{k} -пространстве изочастотной ($\omega = \text{const}$) поверхности нормальной магнитозвуковой SH-волны неограниченного кристалла ($\tilde{l}_y, \tilde{m}_x, u_y \neq 0$) сагиттальной плоскостью xz определяется из (29) уравнением вида ($\tan \theta = k_x/k_z$)

$$c^2 k^2 = \omega^2 \left(1 - \frac{\epsilon \sin^2 \theta}{1 + \epsilon \sin^2 \theta} \right) - \omega_0^2 - \omega_{me}^2 \sin^2 \theta. \quad (38)$$

Расчет показывает, что с учетом (32)–(35) условие, при выполнении которого на исследуемой кривой (38) имеет место формирование участков с отрицательной гауссовой кривизной, может быть представлено в виде

$$\omega^2 < \frac{\omega_0^2 + c^2 k_1^2 + \omega_{me}^2}{1 - \epsilon}. \quad (39)$$

Из (39) следует, что для (38) участок с максимальной отрицательной гауссовой кривизной реализуется при $\theta = \pi/2$ (рис. 2). Сопоставляя этот результат с условиями существования найденной выше с учетом неоднородного обменного взаимодействия поверхностной магнитозвуковой SH-волны, можно сделать вывод, что наличие участка с отрицательной кривизной на кривой (38) является необходимым условием для трансформации этого типа нормального колебания в соответствующую поверхность магнитозвуковую SH-волну. При этом требуется, чтобы направление нормали \mathbf{n} к поверхности магнетика было перпендикулярно направлению, в котором имеет место формирование указанного участка с максимальной отрицательной кривизной.

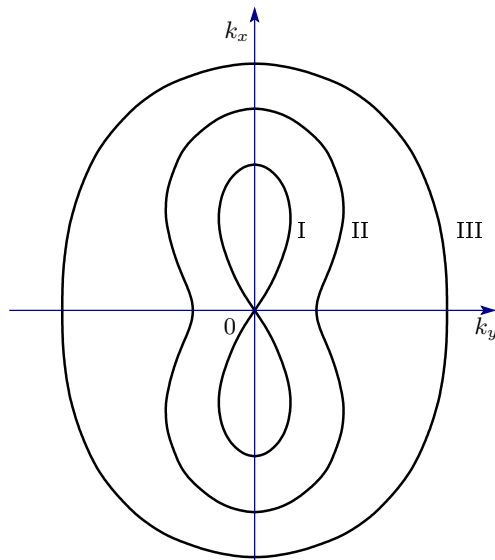


Рис. 2. Структура поверхности волновых векторов нормальной магнитозвуковой SH-волны в легкоосном антиферромагнетике (38): I — $\omega_0^2 < \omega^2 < (\omega_0^2 + \omega_{me}^2)/(1 - \epsilon)$; II — $(\omega_0^2 + \omega_{me}^2)/(1 - \epsilon) < \omega^2 < (\omega_0^2 + \omega_{me}^2 + c^2 k_1^2)/(1 - \epsilon)$; III — $\omega^2 > (\omega_0^2 + \omega_{me}^2 + c^2 k_1^2)/(1 - \epsilon)$

Следует отметить, что для заданной геометрии ($\mathbf{n} \parallel \mathbf{l} \parallel z$, $\mathbf{u} \parallel y$, $\mathbf{k} \in xz$) гибридизация магнитодипольного, магнитоупругого и неоднородного обменного взаимодействий может приводить к возможности локализации вблизи поверхности рассматриваемого антиферромагнетика (1) магнитозвуковой SH-волны даже в том случае, когда поверхность жестко закреплена. Пусть по-прежнему антиферромагнитная среда занимает нижнее полупространство ($z < 0$), на поверхности которого выполнена следующая система граничных условий:

$$\left. \begin{aligned} \frac{\partial \tilde{l}}{\partial z} &= \frac{\partial \tilde{m}}{\partial z} = 0, \\ u_{y1} &= 0, \\ \mathbf{B}_1 \cdot \mathbf{n} &= -\beta k_\perp \phi_1, \end{aligned} \right\} \quad z = 0, \quad (40)$$

$$u_{y1}(z \rightarrow -\infty), \quad \phi_1(z \rightarrow -\infty).$$

Так как для изучаемой сдвиговой волны дисперсионное уравнение по-прежнему определяется соотношением (29), то, следовательно, и в этом случае изучаемая поверхность волны является трехпарциальной (30). Расчет показывает, что в коротковолновом пределе и при условии, что $\beta \ll 1$ в (40), спектр бегущей вдоль поверхности исследуемого антиферро-

магнетика магнитозвуковой SH-волны может быть представлен в виде

$$\Omega_s^2(k_\perp) \approx (\omega_0^2 + c^2 k_\perp^2 + \omega_{me}^2)(1 + \epsilon) - \frac{\epsilon^2 \beta^2}{c^2 k_\perp^2} (\omega_0^2 + c^2 k_\perp^2 + \omega_{me}^2)^2. \quad (41)$$

С помощью (32)–(35) можно убедиться, что этот тип колебаний отвечает сдвиговой поверхностной трехпарциальной ($q_{1-3}^2 > 0$) волне.

7. ЗАКЛЮЧЕНИЕ

В данной работе определены условия, при выполнении которых магнитоупругий механизм линейной связи между колебаниями магнитостатического потенциала ϕ и решетки может приводить уже в нулевом внешнем магнитном поле к формированию сдвиговой поверхностной магнитозвуковой волны нового типа как вблизи механически свободной, так и вблизи акустически сплошной границы раздела между одноосным антиферромагнетиком и немагнитной средой. При этом, в частности, показано, что

- 1) для механически свободной границы раздела между одноосным антиферромагнетиком и идеальным сверхпроводником формирование этого типа поверхностной сдвиговой волны невозможно при учете только магнитоупругого или только магнитодипольного взаимодействия;
- 2) проводящие свойства немагнитной среды могут существенно повлиять на структуру спектра найденного типа поверхностной магнитозвуковой SH-волны;
- 3) в легкоосном антиферромагнетике этот тип поверхностной волны является магнитодипольно-активным только на поверхности магнитного кристалла, но не в его объеме;
- 4) в случае жесткого контакта антиферромагнитной и немагнитной сред формирование поверхностной SH-волны с учетом магнитоупругого взаимодействия возможно уже в пренебрежении магнитодипольным взаимодействием;
- 5) существует связь между условиями формирования найденных типов поверхностных магнитозвуковых SH-волн и условиями скольжения вдоль поверхности магнетика сдвиговой объемной магнитозвуковой волны;
- 6) условия отражения нормальной магнитозвуковой SH-волны от поверхности антиферромагнетика существенно зависят как от частоты и волнового числа падающей волны, так и от проводящих и

упругих (в случае жесткого контакта) свойств граничайшей немагнитной среды;

7) в коротковолновом (эластостатическом) пределе спектр щелевой магнитозвуковой SH-волны для структуры антиферромагнетик–немагнитик–антиферромагнетик совпадает со спектром сдвиговой поверхностной магнитозвуковой волны, бегущей вдоль антиферромагнитной пластины в структуре немагнитик–антиферромагнетик–немагнитик;

8) последовательный учет в антиферромагнетике эффекта пространственной дисперсии, индуцированного неоднородным обменным взаимодействием, может приводить к формированию как вытекающей, так и поверхностной трехпарциальной магнитозвуковой SH-волны, в частности даже в том случае, когда поверхность магнетика жестко закреплена;

9) анализ локальной геометрии поверхности волновых векторов нормальной объемной магнитозвуковой SH-волны антиферромагнитного кристалла дает возможность определить необходимые условия, при выполнении которых вблизи границы раздела магнитной и немагнитной сред возможно формирование и распространение поверхностной трехпарциальной магнитозвуковой SH-волны.

Несмотря на то что в данной работе мы рассматривали модель одноосного антиферромагнетика с изотропным магнитоупругим и упругим взаимодействиями, несложно убедиться, что все приведенные результаты качественно не изменятся и для случая, когда антиферромагнитный кристалл является кубическим, тетрагональным или гексагональным, при условии, что в коллинеарной фазе равновесный вектор антиферромагнетизма \mathbf{l} направлен вдоль оси высокого порядка, а в случае кубического антиферромагнетика — вдоль ребра куба. Кроме того, все указанные решения остаются в силе, если упругие граничные условия на поверхности раздела антиферромагнитной и немагнитной сред (3) соответствуют не механически свободной границе, а границе скольжения [28].

Автор выражает глубокую благодарность В. Е. Тарасенко и В. М. Юрченко за поддержку идеи данной работы и плодотворные обсуждения

ЛИТЕРАТУРА

1. Ю. В. Гуляев, И. Е. Дикштейн, В. Г. Шавров, УФН **167**, 735 (1997).
2. J. P. Parekh, Electron. Lett. **5**, 322 (1969).

3. Ю. В. Гуляев, Ю. А. Кузавко, И. Н. Олейник, В. Г. Шавров, ЖЭТФ **87**, 674 (1984).
4. М. И. Каганов, Ю. А. Косевич, Поверхность **6**, 148 (1986).
5. Ю. А. Косевич, Е. С. Сыркин, ФТТ **28**, 248 (1986).
6. P. Chadwick and G. D. Smith, Adv. Appl. Mech. **17**, 303 (1977).
7. E. Lotte, B. I. Альшиц, Кристаллография **22**, 906 (1977).
8. B. I. Альшиц, B. N. Любимов, Кристаллография **24**, 1122 (1979).
9. B. I. Альшиц, B. N. Любимов, Кристаллография **30**, 213 (1985).
10. E. A. Туров, B. Г. Шавров, УФН **140**, 429 (1983).
11. R. E. Camley and A. A. Maradudin, Appl. Phys. Lett. **38**, 610 (1981).
12. C. B. Тарасенко, ФТТ **42**, 694 (2000).
13. J. Barnas, Acta Phys. Polon. A **59**, 449 (1981).
14. R. E. Camley and D. L. Mills, Phys. Rev. B **26**, 1280 (1982).
15. B. Luthi, D. L. Mills, and R. E. Camley, Phys. Rev. B **28**, 1475 (1983).
16. A. Л. Сукстанский, С. В. Тарасенко, ЖЭТФ **105**, 928 (1994).
17. С. В. Тарасенко, ФТТ **40**, 299 (1998).
18. В. И. Ожогин, В. Л. Преображенский, УФН **155**, 593 (1988).
19. В. И. Альшиц, В. Н. Любимов, ЖЭТФ **106**, 663 (1994).
20. V. I. Alshits, A. N. Darinskii, and J. Lothe, Wave Motion **16**, 265 (1992).
21. R. E. Camley, Surf. Sci. Rep. **7**, 103 (1987).
22. K. Abraha and D. R. Tilley, Surf. Sci. Rep. **24**, 125 (1996).
23. М. К. Балакирев, И. А. Гилинский, *Волны в пьезокристаллах*, Наука, Новосибирск (1982).
24. Ю. А. Косевич, Е. С. Сыркин, Кристаллография **33**, 1347 (1988).
25. Л. М. Бреховских, *Волны в слоистых средах*, Наука, Москва (1973).
26. Л. М. Лямин, Н. С. Шевяков, Акуст. ж. **21**, 951 (1975).
27. А. Г. Гуревич, Г. А. Мелков, *Магнитные колебания и волны*, Наука, Москва (1994).
28. В. А. Красильников, В. В. Крылов, *Введение в физическую акустику*, Наука, Москва (1984).